

* مطالعه جریان آشفته شتاب دار درون لوله با استفاده از مدل های آشفتگی مختلف*

محمد افسری^(۱) مجید ملک جعفریان^(۲)

چکیده در پژوهش حاضر، جریان آشفته شتاب دار خطی در یک لوله برای حوزه متغیر از اعاده رینولدز، به وسیله پنج مدل مرسوم جریان آشفته شبیه سازی می شود. مدل های آشفتگی موردنظر، مدل جبری بالدوین لومکس (BL)، مدل یک معادله ای اسپلارت آلماراس (SA)، مدل $k-\omega$ مدل $k-\varepsilon$ - v^2 با تصحیح دیواره لام - برمهورست و مدل $k-\varepsilon$ - v^2 می باشند. هدف، مطالعه دقیق تر جریان و بررسی کارایی و قابلیت مدل های مذکور در پیش بینی تنش برشی دیواره، تنش رینولدز، لزجت آشفتگی، تأخیر زمانی در پاسخ و سرعت متوسط می باشد. همچنین تغییر عواملی نظیر قطر لوله، نوع سیال، رینولدز اولیه شتاب و نرخ شتاب دهی و تأثیر آن بر پارامترهای فوق به دقت مورد بررسی قرار می گیرد. به منظور راستی آزمایی، نتایج حاصل از مدل های آشفتگی با نتایج تجربی و عددی (مدل سازی آشفتگی و شبیه سازی گردابه های بزرگ) دیگر محققان مقایسه گردیده است. نتایج نشان از دقت مطلوب نتایج حاصل از مدل سازی یک بعدی جریان آشفته شتاب دار در مقایسه با نتایج شبیه سازی گردابه های بزرگ (سه بعدی) دارد. همچنین تأخیر در پاسخ آشفته پیش بینی شده به وسیله مدل BL (به جز مدل BL ، تطابق نسبتاً خوبی با مقادیر آزمایشگاهی نشان می دهد. مقایسه توزیع سرعت متوسط، انرژی جنبشی آشفته و لزجت آشفتگی نشان از دقت بهتر مدل $k-\varepsilon-v^2$ نسبت به سایر مدل ها دارد.

واژه های کلیدی جریان آشفته شتاب دار؛ تأخیر زمانی؛ تنش رینولدز؛ مدل آشفتگی.

Accelerated Turbulent Pipe Flow Study using Various Turbulence Models

M. Afsari M. Malek-Jafarian

Abstract In this paper, linear accelerated turbulent pipe flow has been simulated at various Reynolds numbers using five common turbulence models. The models considered are the Baldwin-Lomax algebraic model, the Spalart-Allmaras one-equation model, the $\kappa-\varepsilon$ model with wall correction of Lam and Bremhorst, the $\kappa-\omega$ model and the $\kappa-\varepsilon-v^2$ model. The goal is to evaluate the performance and precision of these models for prediction of the wall shear stress, Reynolds stress, turbulence viscosity, delay time in response and mean velocity. Factors such as changes in pipe diameter, fluid type, initial Reynolds number of acceleration and rate of acceleration and its effect on the above parameters has examined carefully. In order to verify the results, the experimental and numerical results (turbulence modeling and Large Eddy Simulation) of other researchers have been compared with the present results. The results show the desired accuracy of the one-dimensional modeling of accelerated turbulent pipe flow in comparison with Large Eddy Simulation results (three-dimensional). The response of delay time, simulated by the models (except BL model) shows relatively good agreement with experimental data. Comparing the distribution of mean velocity, turbulent kinetic energy and turbulent viscosity shows $\kappa-\varepsilon-v^2$ model leads to a better accuracy compared with the other models.

Key Words Accelerated turbulent flow; Delay time; Turbulence shear stress; Turbulence model.

*تاریخ دریافت مقاله ۱۷/۷/۹۲ و تاریخ پذیرش آن ۲۲/۱۰/۹۳ می باشد.

(۱) دانشجوی کارشناسی ارشد، گروه مکانیک، دانشگاه بیرجند.

(۲) نویسنده مسئول: استادیار، گروه مکانیک، دانشگاه بیرجند.
mmjafarian@birjand.ac.ir

مقدمه

همچنین بعضی مدل‌های دومعادله‌ای در حل عددی این جریان‌ها داشتند. نتایج شبیه‌سازی، مطابقت ناچیزی با نتایج تجربی داشته‌اند [10]. اسکاتی و پیوملی [11, 12] جریان آشفته تناوبی درون کanal را مورد مطالعه قرار دادند. این مطالعات منجر به این شد که مدل‌های استاندارد اغتشاش، نتایج دقیق و معقولی برای پروفیل‌های سرعت به‌دست می‌دهد. به هر حال، تنش رینولدز بدستی پیش‌بینی نمی‌شود.

Jerian های آشفته غیرتناوبی (Non-Periodic turbulent flows). این جریان نسبت به جریان ضربانی در لوله‌ها کمتر مورد توجه واقع شده است. کاتالوکا و همکاران [13] پاسخ آغازین جریان نسبت به مرحله افزایش نرخ جریان (شتاب‌دهی) در لوله را مورد مطالعه قرار دادند. مورایاما و همکاران [14] اغتشاشات تولید شده درون لوله را، با افزایش تدریجی نرخ جریان از شرایط پایدار مغشوش اصلی مورد بررسی قرار دادند. آنها تأثیرهایی را در پاسخ اغتشاش مشاهده کردند. این تأثیر زمانی در خط مرکزی لوله بیشتر از محدوده نزدیک به دیواره لوله می‌باشد. کوروکاوا و موریکاوا [15] جریان‌های گذرا با نرخ جریان در حال افزایش و کاهش در لوله‌ها را مورد مطالعه قرار دادند. تحقیق آنها نشان داد که عدد رینولدز انتقال از جریان آرام به آشفته حتی برای شتاب خیلی کوچک اعمال شده به صورت قابل توجهی افزایش می‌یابد. مطالعات آزمایشگاهی لفویر [16] بر روی شتاب‌دهی جریان و اثر آن بر انتقال از حالت آرام به مغشوش در یک لوله متتمرکز شد. هی و جکسون [1] به مطالعه تجربی جهت بررسی اثرات تأثیر زمانی در جریان آشفته شتاب دار در لوله با نرخ شتاب‌دهی $5, 10, 20$ و 40 ثانیه پرداختند. نتایج آنها نشان داد که آشفتگی عموماً در مجاورت دیواره تولید می‌شود و سپس به سمت مرکز لوله گسترش می‌یابد. تحقیق بیشتر و دقیق‌تر، توزیع مجدد انرژی آشفتگی را نشان

جریان آشفته شتاب دار در طبیعت و صنعت کاربردهای فراوانی دارد. از آن جمله می‌توان به جریان درون توربوماشین‌ها، نیروگاه‌های هسته‌ای، مبدل‌های گرمایی، جریان خون در رگ‌ها و جریان هوا در ریه انسان اشاره کرد. لذا مطالعه این جریان به‌دلیل کسب اطلاعات برای درک پدیده آشفتگی دارای اهمیت می‌باشد. به علت تأثیرات اینرسی در این جریان‌ها، مشخصه‌هایی از جریان آشفته ظاهر می‌شود که این مشخصه‌ها در جریان‌های آشفته غیرشتاب دار مشاهده نمی‌گردد. اندازه‌گیری جزئیات در جریان‌های آشفته شتاب دار با توجه به مشکلات و مسائل تکنیکی تا سال‌های اخیر کمتر مورد بررسی قرار گرفته است، اما به‌دلیل وجود ابزارهای سنجش مدرن و کامپیوترهای قدرتمند، اندازه‌گیری و شبیه‌سازی این جریان‌ها در حال حاضر قابل حصول شده است. لذا این جریان‌ها بیشتر مورد توجه قرار گرفته‌اند [1].

به‌طور کلی جریان‌های آشفته شتاب دار داخلی به دو دسته کلی، تناوبی و غیرتناوبی تقسیم می‌شود. این دو گروه جریان در زیر توضیح داده می‌شوند.

Jerian های آشفته تناوبی (Periodic pulsating turbulent flows). جریان آشفته تناوبی داخلی به‌دلیل کاربردهای عملی و همچنین تولید آسان آن بیشتر مورد مطالعه واقع شده‌اند. میزوشینا و همکاران [2]، شمر و همکاران [3]، برنل و همکاران [5, 4] و تاردو و همکاران [6] این جریان‌ها را به صورت آزمایشگاهی و تجربی مورد مطالعه قرار داده‌اند.

به‌علاوه با توجه به مطالعات آزمایشگاهی و تجربی وسیع، شبیه‌سازی عددی این جریان توسط جمعی از پژوهشگران گزارش شده است. شمر و ویگناسکی [7] توزیع لزجت گردابهای در این جریان را تعیین کردند. کوک و همکاران [8] و کریمس [9] سعی در استفاده از مدل‌های تکمعادله‌ای آشفتگی و

برای مقایسه چهار مدل ساده اغتشاش، از نتایج شبیه‌سازی مستقیم جریان در کanal تحت شرایط گرادیان فشار معکوس با شتاب کاهنده و $Re=180$ استفاده کردند. آنها دریافتند که نتایج مدل‌های اسپالارت - آلماراس (SA) و انتقال تنش برشی (SST) با دقت قابل توجه، تطابق خوبی با داده‌های DNS دارند.

هی و همکاران [23] با استفاده از مدل $k-\epsilon$ اثر پارامترهایی نظیر قطر لوله، لزجت سیال، نرخ شتاب و عدد رینولدز اولیه بر تنش برشی جریان آشفته و تأخیر زمانی در داخل لوله را بررسی نمودند. خالقی و همکاران [24] نحوه عملکرد مدل‌های آشفتگی رایج را برای جریان شتابدار غیرتاویی در لوله مورد بررسی قرار دادند و با نتایج تجربی هی و جکسون [1] مقایسه نمودند. جانگ و چانگ [25] به کمک روش شبیه‌سازی گردابهای بزرگ، جریان شتابدار در داخل لوله را مورد مطالعه قراردادند و پاسخ پیچیده تنش برشی و نیز تأخیر در پاسخ آشفته را مشاهده کردند.

در این مقاله، کارایی پنج مدل آشفتگی استاندارد، عمومی و رایج به ترتیب افزایش پیچیدگی محاسبات آنها، به منظور تحلیل جریان آشفته شتاب‌دار درون لوله مورد مطالعه قرار گرفته است. نتایج با نتایج به دست آمده از کارهای آزمایشگاهی هی و جکسون [1]، نتایج عددی هی و همکاران [23] و جانگ و چانگ [25] مورد مقایسه قرار خواهد گرفت. نتایج شامل تأثیر پارامترهایی نظیر قطر لوله، لزجت سیال، نرخ شتاب‌دهی و عدد رینولدز اولیه شتاب‌دهی بر عواملی مانند تأخیر در پاسخ آشفتگی، تغییرات تنش برشی، لزجت آشفتگی و انرژی جنبشی آشفتگی در حین فرآیند شتاب‌دهی می‌باشد. هدف، مقایسه قابلیت و کارایی این مدل‌ها در تخمین و پیش‌بینی پدیده‌های فوق می‌باشد. لازم به ذکر است که بررسی این تعداد عوامل متعدد به‌ازای این تعداد مدل‌های آشفتگی تا به حال صورت نگرفته است. در این مقاله، ابتدا

داد. گرینلات و موس [17] جریان آشفته درون لوله را در دامنه اعداد رینولدز بیشتر و نرخ شتاب بالاتر از آزمایشات قبلی اندازه‌گیری کردند. آنها دریافتند که مرحله نهایی شتاب‌دهی، با بازیافت ناحیه جدایش در پروفیل سرعت مشخص می‌شود.

محاسبات عددی مربوط به جریان‌های آشفته شتاب‌دار، به عنوان یک چالش جدی و مهم در علم CFD مطرح می‌باشد. روش‌هایی مانند شبیه‌سازی عددی مستقیم (DNS)، شبیه‌سازی گردابهای بزرگ (LES) و مدل‌های لزجت گردابهای (EVM) از روش‌های به کار گرفته شده به منظور تحلیل این گونه جریان‌ها می‌باشند. روش‌های DNS و EVM بسیار هزینه‌بر (چه از لحاظ زمانی و چه از لحاظ تجهیز CPU) مورد نیاز است. در مقابل، روش EVM نسبت به روش‌های ذکر شده، بسیار کم‌هزینه‌تر و در عین حال با حفظ کیفیت نسبتاً خوب حل می‌باشد.

هسو و همکاران [20] از LES برای تأیید و صحه گذاردن بر مدل‌های RANS در حالت جریان آشفته نوسانی استفاده کردند. اسکاتی و پیوملی [11] عملکرد چهار مدل آشفتگی استاندارد رایج را برای (Unsteady Reynolds Averaged URANS) در جریان نوسانی درون یک کanal مقایسه کردند. نتایج با نتایج تجربی و نتایج DNS و LES مقایسه شدند. نتایج نشان داد که مدل $k-\epsilon-u^2$ در بین مدل‌ها بهتر از بقیه عمل می‌کند. چانگ و ملک جعفریان [21] شبیه‌سازی عددی مستقیم را برای جریان آشفته تحت تأثیر افت فشار ناگهانی اجرا کردند. چهار مدل آشفتگی در این تحقیق برای مقایسه داده‌های DNS و نتایج مدل‌های درهم مورد بررسی واقع شدند. بررسی‌ها نشان داد که مدل بالدوین-لومکس (BL) برای محاسبات جریان آشفته ناپایدار مناسب نمی‌باشد. از طرف دیگر مدل‌های تکمعادله‌ای و دو معادله‌ای در محدوده نزدیک به دیواره‌ها نتایج معقولی را ارائه می‌دهند. هم‌چنین یورک و کولمن [22]

روش اول: روش هایی که از مفهوم لزجت گردابهای استفاده می کنند. این روش ها براساس تعداد معادلات به کار گرفته برای محاسبه لزجت گردابهای، نام گذاری و تقسیم بندی می شوند (مدل های آشفتگی). روش دوم: روش هایی هستند که با حل معادلات جبری یا دیفرانسیلی، مستقیماً تنش های رینولدز را محاسبه می کنند.

اگر هدف، برآورد دقیق رفتار میدان جریان های آشفته باشد، بایستی اندازه شبکه میدان حل از ابعاد هر گردابه، کوچک تر باشد (روش DNS). به عبارت دیگر تخمین هر گردابه توسط چند گره محاسباتی (و حداقل یک گره) صورت پذیرد. بدیهی است در صورتی که برای هر گردابه تعداد مش بیشتری به کار گرفته شود، رفتار واقعی تری به دست خواهد آمد. از سوی دیگر محاسبه تنش های رینولدز مستلزم حل معادلات دیفرانسیلی یا جبری نسبتاً پیچیده است. به این دلیل، محاسبه لزجت گردابهای به کمک مدل های آشفتگی، روش راحت تر و کم هزینه تری است. اگر چه دقت محاسبات، مقداری کاهش می یابد. در کار حاضر از ۵ مدل آشفتگی رایج به منظور شبیه سازی جریان شتاب دار درون لوله و بررسی اثر پارامترهای مختلف بر این جریان، استفاده شده است. مدل ها به ترتیب، مدل جبری بالدوین - لومکس (BL) [27]، مدل یک معادله ای انتقال لزجت آشفته اسپالارت - آلماراس (SA) [28]، مدل های دو معادله ای k-ε استاندارد با تصویح دیواره لام-برمهورست [29]، k-ω [30] و k-ε-v² [31] می باشند. لازم به ذکر است که در تمام مدل های فوق، پخش آشفته ایزوتروپیک فرض است و لذا از رابطه بوزینسک برای محاسبه تنش برشی رینولدز استفاده شده است. در ادامه هر یک از این مدل ها به طور خلاصه بازگو می شوند.

مدل جبری بالدوین-لومکس. مدل جبری بالدوین-لومکس پس از مدل آشفتگی ارائه شده توسط سبسی-

مدل های آشفتگی به طور خلاصه مرور می شوند. سپس ارزیابی و اعتبار سنجی مدل ها با استفاده از داده های DNS مرجع [26] برای جریان درون کانال با $Re = 180$ ارائه خواهد شد. در مرحله بعد نتایج حاصل با نتایج تجربی و عددی ذکر شده، مورد مقایسه قرار خواهد گرفت.

روش عددی

جریان مورد مطالعه، جریان درون لوله ای به شعاع ۲۵/۴ میلی متر می باشد. جریان توسعه یافته با عدد رینولدز ۷۰۰۰ در یک بازه زمانی معین به صورت خطی به عدد رینولدز ۴۵۲۰۰ می رسد. این اعداد رینولدز به عنوان پیش فرض می باشند و در صورت این که محدوده اعداد رینولدز تغییر کرد در متن ذکر خواهد شد.
به دلیل هندسه این تحقیق، معادلات ناویر-استوکس متوضط گیری شده وابسته به زمان (URANS) برای لوله های افقی به صورت زیر در می آید:

$$\rho \frac{\partial \bar{u}}{\partial t} = - \frac{d \bar{p}}{dx} + \frac{\rho}{r^j} \frac{\partial}{\partial r} \left[r^j \nu \frac{\partial \bar{u}}{\partial r} - r^j \bar{u} \bar{v}' \right] \quad (1)$$

در این رابطه \bar{z} می تواند مقادیر صفر و یک را داشته باشد. مقدار ۱، معادله را به معادله مومنتوم یک بعدی جریان درون لوله (دستگاه سیلندریکال) و مقدار صفر، معادله را به معادله مومنتوم یک بعدی جریان درون کانال (دستگاه کارتزین) تبدیل می کند. چون در ناحیه توسعه یافته مولفه سرعت عمود بر جریان ناچیز است، مدل سازی یک بعدی جریان در این ناحیه خطای زیادی را ایجاد نمی کند. در نتیجه کار عددی با دقت قابل قبول و آسان انجام پذیر خواهد بود. محاسبه تنها مجھول جدید در معادله (۱) یعنی $\bar{p} \bar{u} \bar{v}'$ - موردنظر است. برای محاسبه تنش رینولدز براساس معادلات متوضط گیری شده ناویر- استوکس (RANS) از یکی از دو روش زیر استفاده می شود:

$$\nu_t = C_\mu \frac{k^2}{\varepsilon} \quad (3)$$

مقدار معمول برای C_μ برابر 0.09 است. تصحیحات مختلفی از این مدل وجود دارد. از آن جمله می‌توان به تصحیح لاندر-شرما، لام-برمهورست و... اشاره کرد. تصحیح مورد استفاده در کار حاضر، تصحیح پیشنهادی لام-برمهورست می‌باشد [29].

مدل دو معادله‌ای ($k-\omega$). این مدل توسط ویلکاکس [30] پیشنهاد شده است. لزجت گردابه‌ای از رابطه زیر به دست می‌آید:

$$\nu_t = \frac{k}{\omega} \quad (4)$$

که ω تابع اتفافات مخصوص است. معادله انتقال نوشته شده برای ω ، شامل تأثیرات تولید، انتشار و اتفافات می‌باشد. برخلاف تمامی مدل‌های دو معادله‌ای، مدل $k-\omega$ دارای توابع میراکننده نیست و اجازه اعمال شرایط ساده مرزی را می‌دهد. به دلیل سادگی و به مخصوص ثبات عددی، این مدل نسبت به دیگر مدل‌ها برتری دارد. مدل $k-\omega$ (مانند بسیاری از مدل‌های دیگر) نمی‌تواند به خوبی رفتار آشفتگی را در نزدیکی دیوارهای پیش‌بینی کند [34].

مدل ($k-\epsilon-v^2$). یک عامل پاسخ نامناسب مدل $k-\epsilon$ در نزدیکی دیواره ($y^+ < 100$) این است که این مدل با فرض همسانگرد بودن کمیت‌های آشفتگی بنا شده است، در حالی که آشفتگی نزدیک دیواره بهشت ناهمسانگرد است. مدل $k-\epsilon-v^2$ شرایط سینماتیکی درستی را برای اعمال مؤلفه عمودی شدت آشفتگی v^2 که در ادامه متن بهمنظور راحتی از نماد \bar{v}^2 برای نمایش آن استفاده می‌شود) فراهم می‌آورد. به این

اسمیت (CS) [32] ارائه گردید. این مدل به منظور رفع مشکلات مربوط به محاسبات انتگرالی مدل CS در جریان‌های پیچیده، توسعه یافت. با توجه به سادگی و عدم نیاز به زمان محاسباتی زیاد، مدل BL استفاده گسترده‌ای در هوافضا یافت. در این مدل، لزجت آشفتگی طبق رابطه (2) محاسبه می‌شود:

$$\nu_t = \min(\nu_{ti}, \nu_{to}) \quad (2)$$

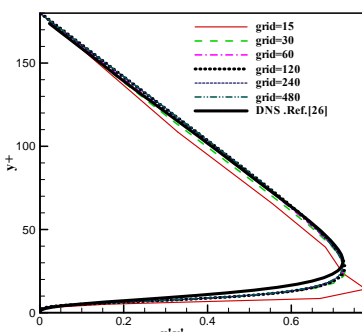
که ν_{ti} و ν_{to} به ترتیب لزجت‌های آشفتگی لایه‌های داخلی و خارجی می‌باشند [27]. مدل‌های جبری قادر نیستند اثرات انتقالی آشفتگی را در نظر بگیرند؛ یعنی نمی‌توانند اثرات اغتشاشی بالادست جریان را در پائین‌دست آن پیش‌بینی نمایند. به این دلیل مدل BL برای جریان‌های آشفته دارای جدایش یا انحنای شدید هندسی نتایج مطلوبی نمی‌دهد [33].

مدل یک معادله‌ای اسپلارت-آلماراس. این مدل، یک معادله انتقال برای محاسبه لزجت گردابه‌ای میانی ($\bar{\nu}$) معرفی می‌کند [28]. این معادله شامل تأثیرات تولید، انتشار، اتلاف و محدودکنندگی عدد رینولدز در نزدیکی دیواره می‌باشد. معادله انتقال، بر مبنای مشاهدات و تجربیات با تجدیدنظر در جریان‌های دارای پیچیدگی بیشتر بنا شده است. این مدل نتایج معقول و منطقی برای محدوده وسیعی از مسائل جریانی دارد.

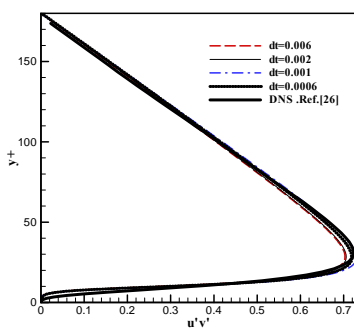
مدل دو معادله‌ای ($k-\epsilon$). مدل $k-\epsilon$ به یکی از رایج‌ترین مدل‌های آشفتگی مورد استفاده در شبیه‌سازی‌های جریان درهم تبدیل شده است. این مدل از انرژی جنبشی آشفتگی و نرخ اتفافات آن (به دست آمده از حل معادلات انتقال) بهره می‌گیرد. لزجت گردابه‌ای در این مدل از رابطه زیر محاسبه می‌شود:

شود. اما نتایج به دست آمده به ازای 240 گره، ضمن انطباق خوب با نتایج 480 گره، بسیار نزدیک به نتایج DNS می‌باشد. بنابراین استقلال از تعداد نقاط شبکه به ازای 240 گره، مطلوب ارزیابی می‌گردد. بررسی استقلال از شبکه برای سایر مدل‌های آشفتگی نیز به روش مشابه صورت گرفت و به نتیجه مشابه منجر گردید.

در شکل (۲) نتایج استقلال از گام زمانی آورده شده است. لازم به ذکر می‌باشد که در اینجا نتایج مدل $k-\epsilon$ آمده است. ارزیابی‌ها نشان داد که گام زمانی مطلوب که در عین انطباق با نتایج DNS، تغییرات در نتایج به دست آمده در آن نیز حداقل باشد از رتبه 4×10^{-6} ثانیه و کمتر می‌باشد. پس از اطمینان از استقلال حل عددی از تعداد نقاط شبکه و گام زمانی، در ادامه به اعتبارسنجی مدل‌های آشفتگی به کار رفته در کار حاضر پرداخته می‌شود.



شکل ۱ بررسی استقلال از تعداد نقاط شبکه حل برای مشخصه تنش رینولدز (مدل $k-\omega$ و $Re_\tau = 180$)



شکل ۲ بررسی استقلال از گام زمانی حل برای مشخصه تنش رینولدز (مدل $k-\omega$ و $Re_\tau = 180$)

ترتیب اثرات ناشی از دیواره و ناهمسانگردی کمیت‌های آشفتگی در مدل‌سازی، به خوبی اعمال می‌شود. مزیت این مدل، عدم نیاز به توابع میراکننده در نزدیکی دیواره می‌باشد. در نتیجه لزجت آشفتگی در مدل $k-\epsilon-v^2$ به صورت زیر تعریف می‌شود:

$$V_t = C_\mu \overline{v^2} k / \epsilon \quad (5)$$

$\overline{v^2}$ برخلاف k مقیاس سرعت مناسبی برای استفاده در این مقوله است، در نتیجه به کارگیری آن مطلوب خواهد بود [31].

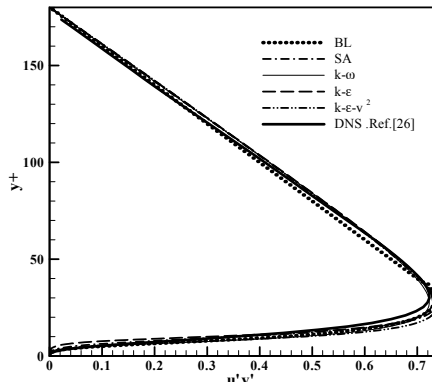
منفصل‌سازی معادلات حاکم

معادلات حاکم در کار حاضر (معادله مومنتوم و معادلات مدل‌های آشفتگی) به کمک روش کرانک-نیکلسون منفصل‌سازی شده و با روش TDMA هم‌زمان حل می‌گردد. در این راستا از یک شبکه‌بندی غیریکنواخت (تمرکز در نزدیک سطح) استفاده گردیده است.

بررسی استقلال از شبکه

عملیات استقلال از شبکه و استقلال از گام زمانی برای مشخصه‌های پروفیل سرعت متوسط، انرژی جنبشی آشفته و تنش رینولدز، انجام شده است. توضیح این‌که برای این منظور، ابتدا نتایج عددی به دست آمده از مدل‌ها با نتایج شبیه‌سازی عددی مستقیم جریان درون کanal با عدد رینولدز برحسب سرعت اصطکاکی $Re_\tau = 180$ مقایسه می‌شود، اما برای اختصار تنها نتایج مشخصه تنش رینولدز به ازای مدل $k-\omega$ ارائه می‌گردد (شکل ۱). همان‌طور که در این شکل مشخص است توزیع تنش رینولدز به دست آمده با تعداد نقاط کم (۱۵، ۳۰، ۶۰، ۱۲۰)، انطباق مناسبی با نتایج DNS ندارد. این موضوع نشانگر این مهم است که تغییرات در تعداد شبکه می‌تواند باعث ایجاد تغییر در نتایج

پس از اعتبارسنجی و اطمینان از صحت مدل‌های آشفتگی برای جریان پایا درون کanal، در ادامه به ارائه نتایج اصلی کار حاضر پرداخته خواهد شد. همان‌طور که قبلاً اشاره گردید، تحلیل عددی جریان آشفته شتابدار خطی درون لوله‌ای به شعاع $25/4$ میلی‌متر مورد نظر می‌باشد. در طی دوره معینی که دوره شتابدهی نامیده می‌شود، عدد رینولدز جریان به صورت خطی از مقدار 7000 به 45200 افزایش خواهد یافت. لازم به ذکر است که عدد رینولدز براساس سرعت متوسط سیال و قطر لوله محاسبه می‌گردد. سیال عامل، آب با چگالی $\frac{kg}{m^3}$ 1000 و لزجت $\frac{m^2}{s}$ 10^{-6} در نظر گرفته شده است. در ادامه از آوردن قطر لوله و نوع سیال پرهیز شده است، مگر آنکه لوله‌ای با قطر متفاوت و سیال دیگر مد نظر باشد.



شکل ۴ مقایسه توزیع تنش‌های رینولدز بدست آمده از مدل‌های آشفتگی مختلف با نتایج DNS ($Re_\tau = 180$)

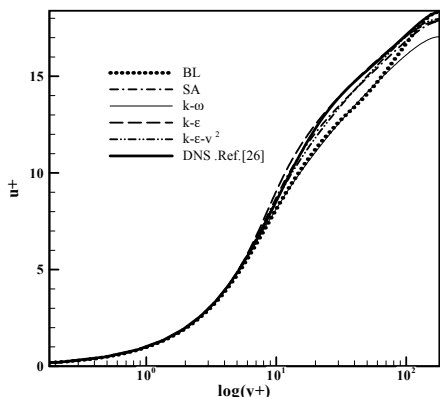
برای محاسبه مقدار صحیح گرادیان فشار در دوره شتابدهی باید از معادله مومنتوم در کل مقطع لوله انگرال گرفت. در نتیجه رابطه زیر بدست می‌آید:

$$-\frac{1}{\rho} \frac{\partial \bar{P}}{\partial x} = -\frac{2}{R} (\nu + \nu_t) \left. \frac{\partial \bar{u}}{\partial r} \right|_{y=0} + \frac{\bar{u}_{final} - \bar{u}_{initial}}{T} \quad (6)$$

ارائه نتایج

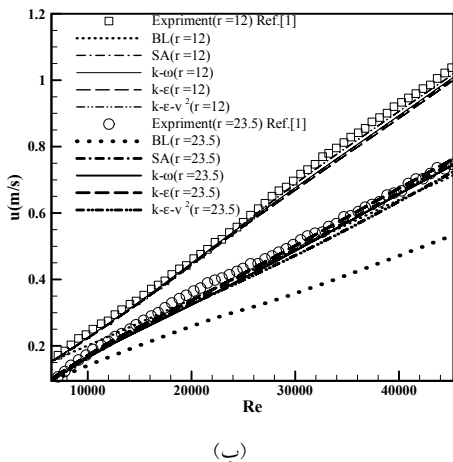
اعتبارسنجی نتایج برای جریان پایا. به منظور اعتبارسنجی مدل‌های آشفتگی به کار رفته در کار حاضر، نتایج بدست آمده از حل جریان درون کanal به‌ازای مدل‌های مذکور با نتایج DNS مرجع [26] مقایسه می‌گردد.

شکل (۳) پروفیل‌های سرعت حاصل از مدل‌های آشفتگی مختلف و مقایسه آن با نتایج DNS را نشان می‌دهد. به‌وضوح دیده می‌شود که توزیع سرعت‌های بدست آمده، به‌ازای $y^+ < 100$ اختلاف کمی با مقادیر DNS دارد. این اختلاف در مدل‌های $k-\omega$ و BL بیشتر و در مدل‌های SA و $k-\epsilon-v^2$ کمتر است.



شکل ۳ مقایسه پروفیل‌های سرعت بدست آمده از مدل‌های آشفتگی مختلف با نتایج DNS ($Re_\tau = 180$)

شکل (۴) توزیع تنش رینولدز جریان در موقعیت‌های شعاعی مختلف لوله را نشان می‌دهد. با فاصله گرفتن از دیواره (افزایش y) شیب پروفیل سرعت کم می‌شود و مقدار لزجت آشفتگی ابتدا افزایش و سپس کاهش می‌یابد. در نتیجه حاصل ضرب این دو کمیت، در مکانی بین دیواره و مرکز کanal به بیشینه خود خواهد رسید. همه مدل‌ها توانسته‌اند توزیع تنش رینولدز را به خوبی پیش‌بینی کنند.



(ب)

شکل ۵ پیش‌بینی مدل‌های مختلف آشفتگی و مقایسه آنها با داده‌های آزمایشگاهی [1] برای سرعت متوسط محلی با دوره شتاب دهنده ۵ ثانیه‌ای ($Re=7000-45200$)
 $r = 12, 23.5\text{mm}$ (الف) $r = 0, 21\text{mm}$ (ب)

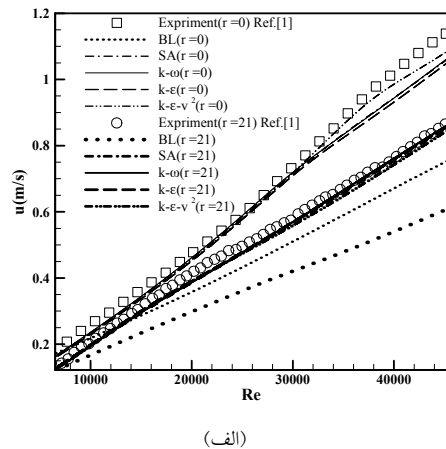
در شکل (۵) ضعف مدل BL نسبت به سایر مدل‌های آشفتگی در پیش‌بینی سرعت محلی نمایان است. هم‌چنین مشاهده می‌گردد که اختلاف نتایج مدل‌ها با داده‌های آزمایشگاهی در قسمت مرکزی لوله در انتهای دوره شتاب دهنده زیاد می‌شود.

شکل (۶) توزیع انرژی جنبشی آشفتگی حاصل از حل جریان شتاب دار را به ازای مدل‌های آشفتگی مختلف نشان می‌دهد. انرژی جنبشی آشفتگی تقریباً برای یک ثانیه بدون تغییر باقی می‌ماند و پس از آن یک پاسخ قوی در منطقه نزدیک دیواره وجود خواهد داشت. این پاسخ قوی بیانگر اوج درهمی تولیدی است. آن گاه منطقه افزایش درهمی از دیوار به سمت مرکز لوله منتشر می‌شود. به لحاظ کمی و کیفی نتایج حاصل از مدل‌های آشفته مختلف کار حاضر، نزدیک نتایج عددی حاصل از مدل $k-\epsilon$ مرجع [23] شده است. هم‌چنین نتایج مدل $k-\omega$ (شکل ۶ - ب) در ناحیه نزدیک دیواره و نتایج مدل $k-\epsilon-v^2$ (شکل ۶ - د) در ناحیه دور از دیواره به نتایج عددی مرجع [23] نزدیک‌تر است.

که R شعاع لوله، $\bar{u}_{initial}$ سرعت سیال ورودی به لوله در ابتدای دوره شتاب دهنده، \bar{u}_{final} سرعت سیال ورودی به لوله در انتهای دوره شتاب دهنده و T زمان دوره شتاب دهنده است. با محاسبه گرادیان فشار از معادله (۶) می‌توان نتایج حاصل از حل عددی را با نتایج عددی و تجربی دیگران مقایسه کرد.

ارائه نتایج جریان شتاب دار

برای اعتبارسنجی، ابتدا نتایج به دست آمده از حل جریان آشفته شتاب دار داخل لوله به ازای مدل‌های آشفتگی مختلف با نتایج آزمایشگاهی هی و جکسون [1] مقایسه می‌شود. شکل (۵) مقادیر سرعت را در چهار موقعیت مختلف را در راستای شعاع لوله ($r = 0, 12, 21, 23.5\text{mm}$) با دوره شتاب دهنده ۵ ثانیه نشان می‌دهد. ضمن پراکندگی مناسب این موقعیت‌ها، اندازه‌گیری‌های تجربی کمیت‌های جریان آشفته نیز برای این نقاط موجود است که به منظور تأیید نتایج از آنها کمک گرفته می‌شود. بررسی استقلال از گام زمانی حل (شکل ۲) نشان می‌دهد که مرتبه گام زمانی مناسب در جریان پایا $10^{-4} \times 6$ ثانیه است. با توجه به این که دوره شتاب دهنده در جریان ناپایا ۵ ثانیه و بیشتر است و از طرفی کد عددی از دقت زمانی برخوردار است لذا استفاده از گام زمانی مذکور برای حل جریان شتاب دار بلامانع خواهد بود.



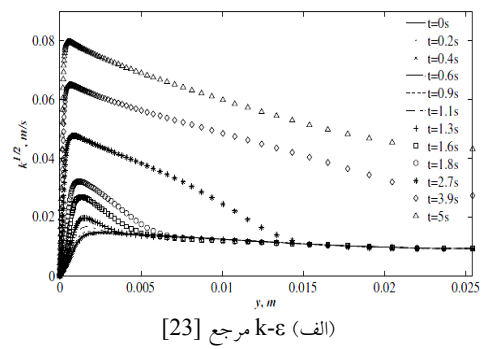
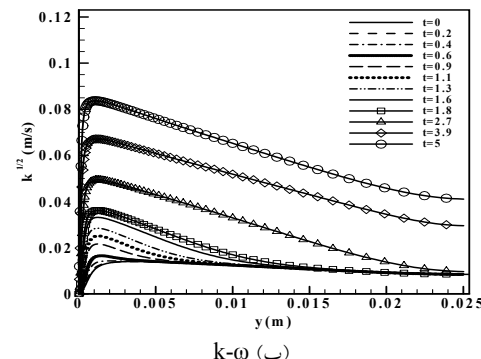
(الف)

شکل (۷) توزیع لزجت آشفتگی (۷) به دست آمده به ازای مدل‌های آشفتگی مختلف کار حاضر و نتایج مدل $k-\epsilon$ مرجع [23] را نشان می‌دهد. به لحاظ کیفی پاسخ لزجت آشفتگی شبیه پاسخ انرژی جنبشی آشفته می‌باشد. این امر وابستگی لزجت آشفتگی را به انرژی جنبشی توجیه می‌کند. در مراحل اولیه شتاب‌دهی (حدود یک ثانیه ابتدا)، لزجت آشفتگی $k-\epsilon$ تقریباً بدون تغییر است. علت تفاوت میان نتایج مرجع [23] و نتایج $k-\epsilon$ کار حاضر را می‌توان به استفاده از دو تصحیح متفاوت این مدل مربوط دانست. لازم به ذکر است که مدل $k-\epsilon$ مرجع [23] دارای تصحیح نزدیک دیواره لاندر-شارما می‌باشد. مشاهده می‌شود که مدل BL قادر به پیش‌بینی صحیح رفتار لزجت آشفتگی نیست.

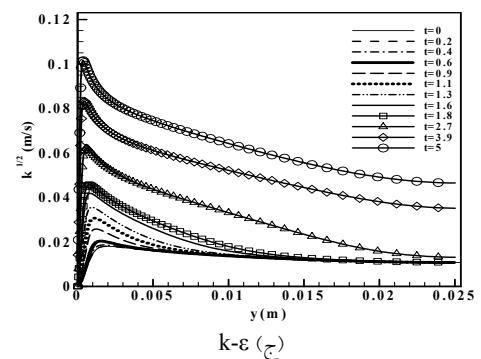
در نتایج مربوط به مرجع [23] (شکل ۷-الف)، لزجت آشفتگی نواحی دور از دیواره تا قبل از ۲/۹ ثانیه، تقریباً بدون تغییر است. علت این امر پاسخ آهسته (تأخر در پاسخ) این نواحی به شتاب جریان می‌باشد. این مطلب در ادامه به‌طور مفصل بحث خواهد شد. به لحاظ کمی و کیفی نتایج مدل‌های مختلف به جز مدل BL تطابق نسبتاً خوبی با هم دارند. از بین مدل‌های کار حاضر مدل $k-\epsilon-v^2$ تطابق بهتری با نتایج مرجع [23] دارد.

بررسی رفتار تنفس برشی دیواره. یکی از پارامترهای مهم در جریان آشفته، تنفس برشی دیواره می‌باشد که در تحقیقات، کمتر به آن پرداخته شده است. تنفس برشی دیواره به صورت زیر تعریف می‌شود:

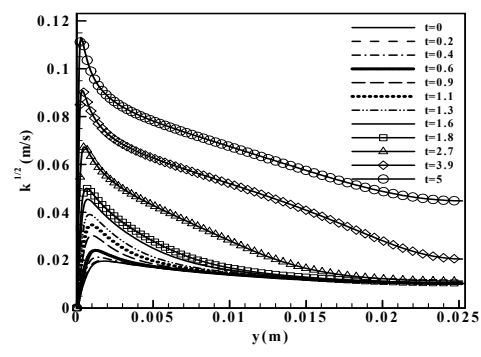
$$\tau_w = \mu \frac{d\bar{u}}{dr} \Big|_{y=0} \quad (V)$$

(الف) مرجع [23] $k-\epsilon$ 

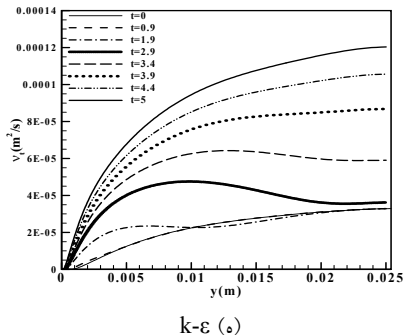
(ب)



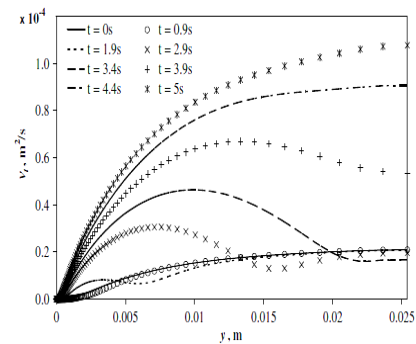
(ج)

(د) $k-\epsilon-v^2$

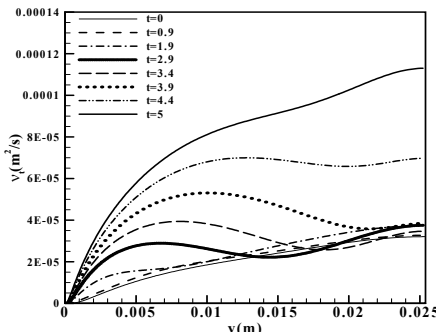
شکل ۶ مقایسه توزیع انرژی جنبشی آشفته حاصل از مدل‌های درهم مختلف و نتایج عددی مرجع [23] به ازای دوره شتاب‌دهی ۵ ثانیه‌ای ($Re=7000-45200$)



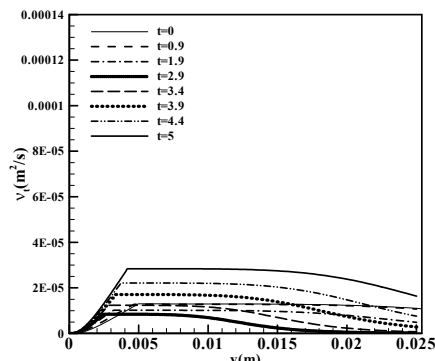
(a)



[23] k-ε (الف)



(و)

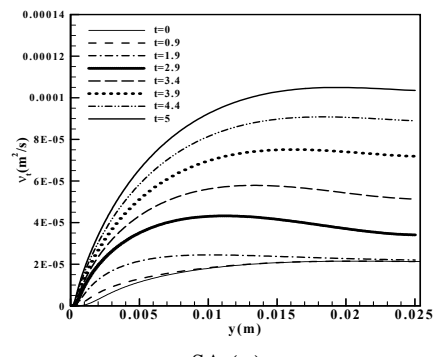


BL (ب)

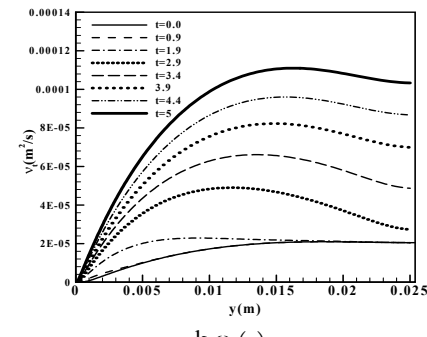
شکل ۷ مقایسه توزیع لرجه آشفته حاصل از مدل‌های آشفتگی مختلف و نتایج عددی مرجع [23] به ازای دوره شتاب دهی ۵ ثانیه‌ای ($Re=7000-45200$)

شکل (۸) روند افزایشی تنش برشی در طی دوره شتاب دهی ۵ ثانیه‌ای به ازای مدل‌های آشفتگی مختلف کار حاضر و مقایسه آن با نتایج عددی مرجع [23] را نشان می‌دهد. مشاهده می‌شود که با افزایش سرعت متوسط سیال به‌طور خطی و به‌دبیال آن افزایش شیب پروفیل سرعت روی دیواره، تنش برشی زیاد می‌شود؛ اما این افزایش، روند خطی ندارد.

همچنین مشاهده می‌شود که حل عددی شتاب دار از حل شبیه‌پایا فاصله دارد. علت این امر آن است که حل حالت شبیه‌پایا از گام زمانی قبل متأثر نیست؛ یعنی در طی شتاب دهی، تأثیر اینرسی بر گرادیان فشار لحاظ نگردیده و جریان به صورت لحظه‌ای پایا در نظر گرفته شده است.

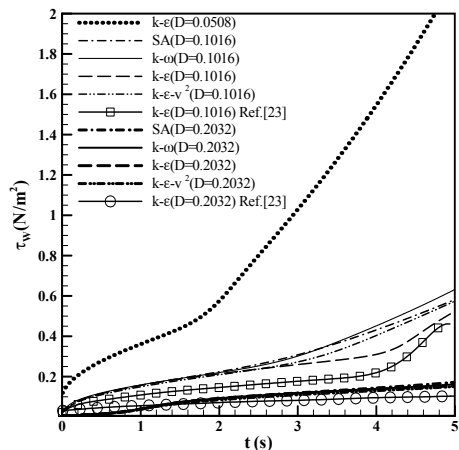


SA (ج)



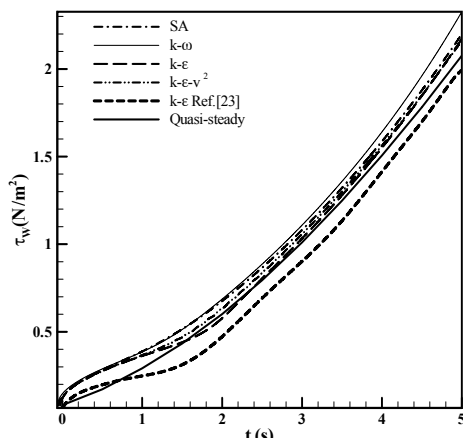
k-ω (ذ)

طی مرحله افزایش سریع تنش برشی، تولید تلاطم در نزدیکی دیوار به طور قابل توجهی افزایش می‌یابد. با افزایش قطر لوله، اثر تأخیر بیشتر از زمان دوره شتابدهی می‌گردد. در نتیجه افزایش سریع در تنش برشی دیگر حس نخواهد شد.



شکل ۹ اثر قطر لوله بر تنش برشی دیواره به‌ازای دوره شتابدهی ۵ ثانیه‌ای ($Re=7000-45200$)

بررسی اثر لزجت سیال بر تنش برشی دیواره. در شکل (۱۰) اثر تغییر نوع سیال به‌خوبی مشاهده می‌شود. با تغییر نوع سیال از آب به هوا (در قطر یکسان $m = 0.2032 \text{ m}$) لزجت سینماتیکی افزایش می‌یابد. در نتیجه در عدد رینولدز یکسان، سرعت متوسط سیال برای هوا (نسبت به آب) بزرگ‌تر می‌باشد؛ اما با این وجود تنش برشی هوا کمتر از آب می‌باشد. علت این امر به کاهش چگالی آن باز می‌گردد. نکته دیگر اینکه، کاهش چگالی سیال باعث می‌شود که نتایج حل شبپایا و ناپایا بهم نزدیک شوند. در این شکل به منظور مقایسه نتایج مدل‌های آشفتگی مختلف، نتایج عددی مرجع [23] و نتایج جریان شبپایا نیز آورده شده است.

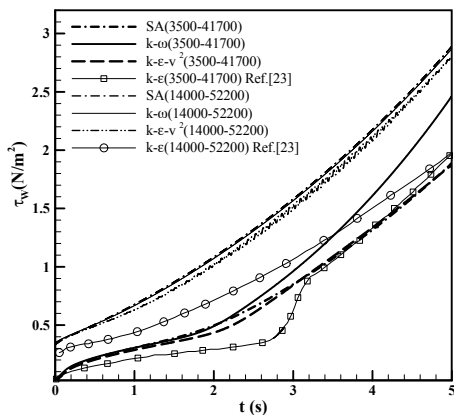


شکل ۸ تغییرات تنش برشی دیواره در طی دوره شتابدهی ۵ ثانیه‌ای ($Re=7000-45200$)

بررسی اثر قطر بر تنش برشی دیواره. همان‌طور که در شکل (۹) مشاهده می‌شود، افزایش قطر لوله از $50/8$ میلی‌متر به دو برابر و چهار برابر آن، باعث کاهش مقدار تنش برشی می‌گردد. به‌طور کلی، افزایش قطر لوله سبب کاهش سرعت متوسط سیال و در نتیجه کاهش تنش برشی دیواره می‌شود. لازم به ذکر است، به‌علت نتایج ضعیف مدل BL نسبت به دیگر مدل‌ها، نتایج این مدل در این شکل و شکل‌های بعدی لحاظ نمی‌گردد. نزدیکی نتایج عددی حاصل از مدل‌های آشفتگی مختلف با نتایج عددی مرجع [23] واضح است. همچنین مشاهده می‌شود در قطر بیشتر، اختلاف حل مدل‌ها کمتر می‌گردد.

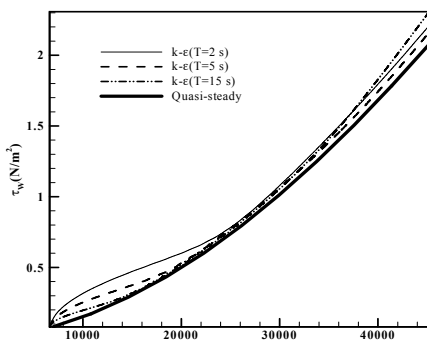
نکته مهم که از شکل دریافت می‌شود این است که در قطرهای کم ($D=0.0508$ و $D=0.1016$) از یک زمان مشخص در حین شتابدهی، شبیخ خط تنش برشی سریعاً افزایش می‌یابد، در حالی که این امر در قطرهای بیشتر ($D=0.2032$) روی نمی‌دهد. علت این امر را می‌توان این‌طور توضیح داد که قبل از افزایش ناگهانی شبیخ منحنی تنش برشی، اثر تأخیر در پاسخ آشفتگی بر جریان نزدیک دیواره حاکم است؛ اما در

مدل‌های آشفتگی مختلف کار حاضر در شتابدهی با عدد رینولدز اولیه ۳۵۰۰ نشان می‌دهد که در ابتدای دوره، نتایج با نتایج مرجع [23] اختلاف داشته است ولی این اختلاف در انتهای مرحله، کاهش می‌یابد.

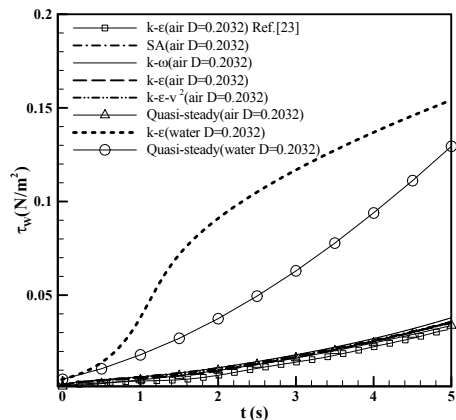


شکل ۱۱ اثر افزایش عدد رینولدز اولیه بر تنش برشی دیواره بهازای دوره شتابدهی ۵ ثانیه‌ای

بررسی اثر زمان دوره شتابدهی بر تنش برشی دیواره. افزایش زمان دوره شتابدهی باعث کاهش اینرسی جریان در طول دوره می‌شود در نتیجه انتظار می‌رود که اختلاف بین حل حالت پایا و ناپایا کاهش یابد. این اختلاف در شکل (۱۲) قابل مشاهده می‌باشد. لازم به ذکر است که فقط نتایج حاصل از مدل $k-\epsilon$ -نمایش داده شده است. اختلاف بین حل شبکه‌پایا و حل شتابدار، در مراحل انتهایی شتابدهی به دلیل ضعف مدل‌سازی می‌باشد.



شکل ۱۲ اثر زمان دوره شتابدهی بر تنش برشی دیواره ($Re=7000-45200$)

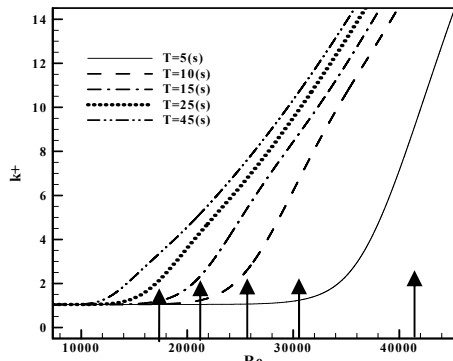


شکل ۱۰ اثر لزجت سیال بر تنش برشی دیواره بهازای دوره شتابدهی ۵ ثانیه‌ای ($Re=7000-45200$)

لازم به ذکر است، در این شکل برای پرهیز از شلوغی، فقط نتایج مدل $k-\epsilon$ (برای سیال آب) آمده است.

بررسی اثر رینولدز اولیه بر تنش برشی دیواره. چون در عمل، بازه‌های مختلف از اعداد رینولدز می‌توانند در نظر گرفته شود، از این‌رو اعداد رینولدز اولیه نیز تغییر داده شد و نتایج، مورد بررسی قرار گرفت. افزایش رینولدز اولیه سبب افزایش نرخ نفوذ آشفتگی و به تبع آن افزایش تنش برشی دیواره می‌گردد. در شکل (۱۱) رینولدزهای اولیه ۳۵۰۰ و ۱۴۰۰۰ انتخاب شده‌اند که در دوره زمانی ۵ ثانیه تحت شتاب قرار می‌گیرند. برای مقایسه بهتر، باید اختلاف بین اعداد رینولدز ۷۰۰۰ و ۴۵۲۰۰ را به اعداد رینولدز ۳۵۰۰ و ۱۴۰۰۰ افزود که به ترتیب، اعداد رینولدز نهایی ۴۱۷۰۰ و ۵۶۲۰۰ به دست خواهد آمد. افزایش تنش برشی در اثر افزایش رینولدز اولیه را در شکل (۱۱) می‌توان مشاهده کرد. لازم به ذکر است برای پرهیز از شلوغی، نتایج مربوط به بازه اعداد رینولدز ۷۰۰۰ تا ۴۵۲۰۰ درج نشده است. ملاحظه می‌شود که اگر شروع شتابدهی در اعداد رینولدز بالاتر رخ دهد، اختلاف بین نتایج مدل‌های آشفتگی کمتر می‌گردد؛ اما بین نتایج حاضر و نتایج مرجع [23] اختلاف وجود دارد. هم‌چنین مقایسه

نتایج این مدل آمده است. بررسی زمان تأخیر در موقعیت مرکزی لوله برای لوله به شعاع $50/8$ میلی‌متر نشان می‌دهد که با افزایش دو برابر قطر لوله، زمان تأخیر نیز حدوداً دو برابر (8 ثانیه) می‌شود. لازم به ذکر است، به دلیل این‌که نرخ شتاب 5 ثانیه‌ای کمتر از زمان تأخیر در این قطر می‌باشد، مقدار زمان تأخیر برای آن در جدول درج نشده است.



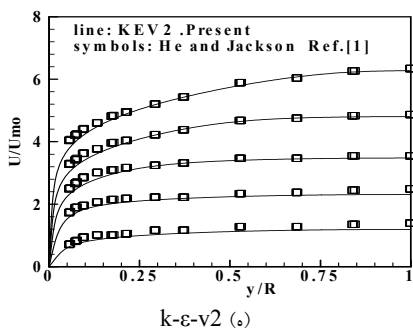
شکل ۱۳ تغییرات انرژی جنبشی آشفته در مرکز لوله به‌ازای دوره‌های شتاب‌دهی مختلف ($Re=7000$ – 45200)

جدول ۱ مقایسه تأخیر زمانی نتایج آزمایشگاهی [1] و عددی پژوهش حاضر

	۴۵	۲۵	۱۵	۱۰	۵	نرخ شتاب‌دهی(ثانیه)
۴	۳.۹	۴.۱	۴	۳.۹		تأخر زمانی مرکز لوله تجربی(ثانیه) - لوله به شعاع $25/4$ میلی‌متر [۱]
۵.۷۳	۴.۷۴	۳.۸۳	۳.۸۷	۳.۵۱		تأخر زمانی مرکز لوله کار حاضر - پیش‌بینی شده با مدل $k-E-v^2$ (ثانیه) لوله به شعاع $25/4$ میلی‌متر
۱۱.۱۷	۹.۲۵	۷.۸۴	۶.۸۹	-		تأخر زمانی مرکز لوله کار حاضر - پیش‌بینی شده با مدل $k-E-v^2$ (ثانیه) لوله به شعاع $50/8$ میلی‌متر

تأخر در پاسخ آشفته. یکی از مهم‌ترین و تأثیرگذارترین پارامترهای متفاوت، بین نتایج جریان‌های پایا و شبے‌پایا، با نتایج جریان شتاب‌دار، در مقوله تأخیر زمانی می‌باشد. هی و جکسون [1] تأخیر در پاسخ آشفته (تأخر زمانی) را به صورت زیر تعریف نمودند: "مقدار زمان از شروع یک شتاب‌دهی تا لحظه‌ای که یک مکان معین در جریان به آن شتاب پاسخ می‌دهد". با تحمیل یک دوره شتاب‌دهی، ابتدا میدان سرعت متوسط شروع به پاسخ می‌کند. درنتیجه گرادیان سرعت در ناحیه نزدیک به دیواره افزایش می‌یابد. دامنه این گرادیان به تدریج با زمان رشد می‌کند. تا زمانی که این ناحیه، ناحیه‌ای را که در آن تولید آشفتگی به اوج می‌رسد، پوشش دهد، افزایش کوچک آشفتگی وجود دارد؛ اما پس از آن، تغییرات در تولید آشفتگی و دیگر کمیت‌های جریان قابل توجه می‌گردد. بنابراین، یک تأخیر زمانی تابع سرعت و شتاب، فاصله از می‌شود. تأخیر زمانی تابع سرعت و شتاب، فاصله از دیواره لوله، جنس سیال و علامت شتاب (افزایشی یا کاهشی بودن جریان) می‌باشد. این امر در جریان پایا به هیچ عنوان مشاهده نمی‌شود. حدود تأخیر زمانی در نرخ‌های شتاب‌دهی گوناگون در شکل (۱۳) رسم شده است. نتایج کار حاضر نشان می‌دهد که زمان تأخیر در موقعیت مرکز لوله، برای لوله به شعاع $25/4$ میلی‌متر، حدود 4 ثانیه (به‌ازای شتاب‌های مختلف) است که این مقدار تطابق خیلی خوبی با نتایج تجربی مرجع [1] (جدول ۱) دارد. لازم به ذکر است که مبنای ارائه شده برای محاسبه تأخیر زمانی (در جدول ۱)، افزایش 10% مقدار $\frac{k}{u_{\tau_0}^2} = k^+$ از مقدار اولیه‌اش (قبل از تأخیر) می‌باشد.

علامت نشان داده شده در شکل (۱۳) نشان‌دهنده شروع تغییرات انرژی جنبشی در موقعیت ذکر شده است. جدول (۱) خلاصه نتایج تأخیر زمانی خط مرکزی لوله به‌ازای دوره‌های شتاب‌دهی مختلف را نمایش می‌دهد. برای پرهیز از تکرار و با توجه به دقت قابل قبول مدل $k-E-v^2$ در ناحیه دور از دیواره، فقط



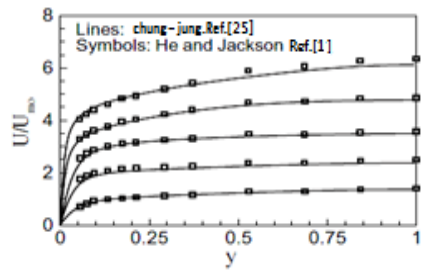
شکل ۱۴ مقایسه توزیع سرعت متوسط حاصل از مدل‌های آشفتگی مختلف و نتایج تجربی در زمان‌های مختلف دوره شتاب دهنده ۳/۸ ثانیه‌ای در اعداد رینولدز ۷۰۰۰، ۱۴۰۰۰، ۲۱۰۰۰، ۲۸۰۰۰ و ۳۵۰۰۰

این توزیع سرعت‌ها با نتایج آزمایشگاهی مرجع [1] و نتایج LES مرجع [25] مقایسه شده است. اندازه‌گیری نزدیک دیواره ($y/R \leq 0.55$) در آزمایش‌ها قابل دسترسی نیست [25]. ملاحظه می‌شود که نتایج عددی کار حاضر (به جز مدل BL) به خوبی با نتایج آزمایشگاهی مطابقت دارد.

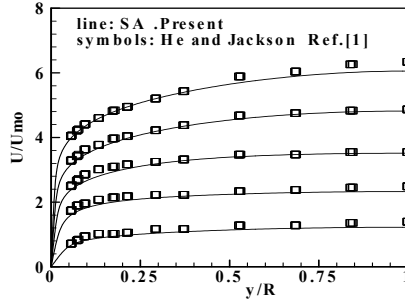
بررسی انرژی جنبشی آشفته در دوره شتاب دهنده. شکل (۱۵) توزیع متوسط مربع مؤلفه سرعت محوری را در دوره شتاب دهنده ۳/۸ ثانیه‌ای (به دست آمده به کمک روش LES) نشان می‌دهد [25]. به علت این که در کار حاضر از مدل‌های آشفتگی مختلف برای شبیه‌سازی استفاده شده است در نتیجه برخلاف روش LES، ترسیم جذر متوسط مربعات سرعت امکان‌پذیر نخواهد بود؛ بنابراین برای مقایسه کیفی، انرژی جنبشی آشفته به عنوان نماینده رسم می‌شود. ارتباط جذر متوسط مربعات مؤلفه‌های سرعت و انرژی جنبشی آشفته به صورت زیر است:

$$k = 0.5 \left[(u'_{rms})^2 + (v'_{rms})^2 + (w'_{rms})^2 \right] \quad (\text{A})$$

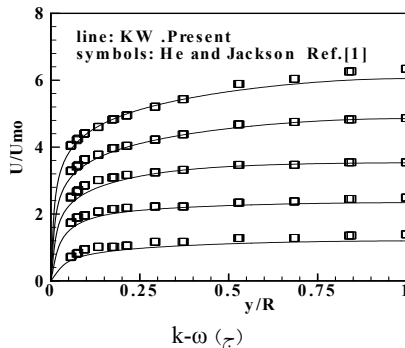
بررسی توزیع سرعت متوسط در دوره شتاب دهنده. شکل (۱۴) توزیع سرعت متوسط در اعداد رینولدز مختلف (زمان‌های متفاوت) در طی دوره شتاب دهنده ۳/۸ ثانیه‌ای را نشان می‌دهد. در این شکل سرعت‌ها با سرعت ابتدای شتاب دهنده و موقعیت مکانی نیز با مقدار بیشینه خود (شعاع لوله) بی‌بعد شده‌اند.



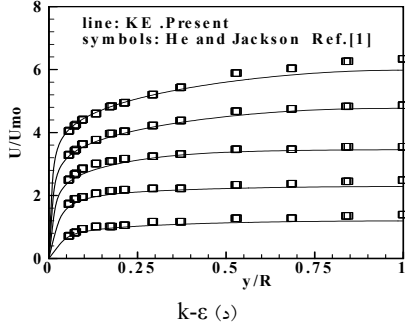
[25] LES (الف)



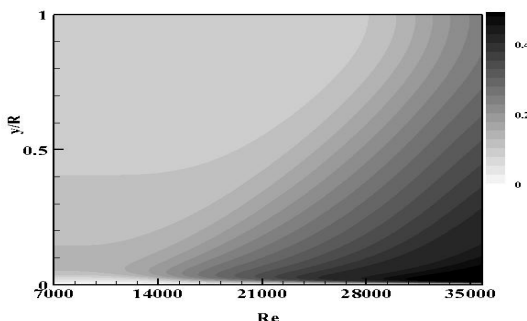
SA (ب)



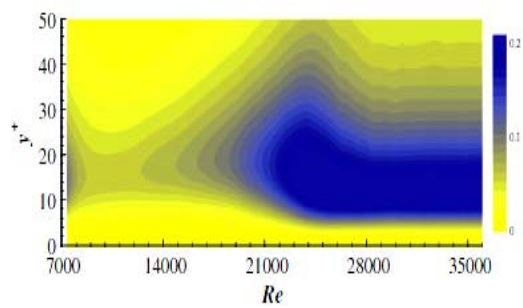
k-ω (ج)



k-ε (د)

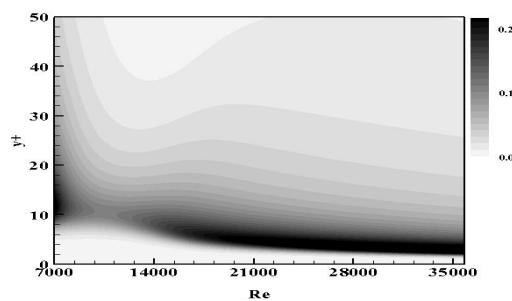


شکل ۱۶ توزیع انرژی جنبشی آشفته حاصل از مدل $k-\epsilon-v^2$ به ازای دوره شتابدهی $3/8$ ثانیهای ($Re=7000-36000$)



شکل ۱۷ توزیع جمله تولید بی بعد معادله انرژی جنبشی آشفته به ازای دوره شتابدهی $3/8$ ثانیهای ($Re=7000-36000$)

مرجع [25]



شکل ۱۸ توزیع جمله تولید بی بعد معادله انرژی جنبشی آشفته به ازای دوره شتابدهی $3/8$ ثانیهای ($Re=7000-36000$)

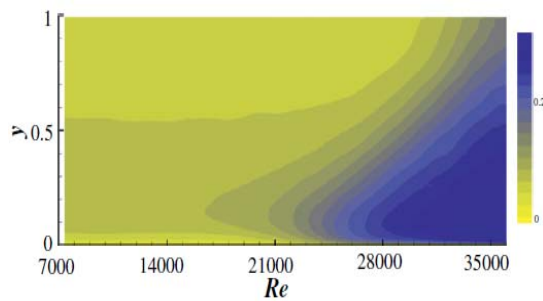
مدل $k-\epsilon-v^2$

نتیجه‌گیری

در پژوهش حاضر، جریان آشفته شتابدار خطی در یک لوله برای حوزه متغیر از اعداد رینولدز، به وسیله پنج مدل مرسوم جریان آشفته شبیه‌سازی شد. مطالعه دقیق‌تر جریان و بررسی کارایی و قابلیت مدل‌های

توزیع انرژی جنبشی آشفته در طی دوره شتابدهی $3/8$ ثانیهای در راستای شعاع لوله در شکل (۱۶) رسم شده است. مشاهده می‌شود که تغییرات این کمیت به لحاظ کیفی مانند نتایج LES (شکل ۱۵) است. لازم به ذکر می‌باشد که این شکل نتایج مربوط به مدل $k-\epsilon-v^2$ را نمایش می‌دهد. شکل‌های (۱۶) و (۱۵) تأخیر زمانی در پاسخ آشفتگی، در مراحل اولیه شتابدهی را نیز به‌وضوح نشان می‌دهند.

توزیع جمله تولید بی بعد معادله انرژی جنبشی آشفته، به دست آمده به روش LES [25]، در شکل (۱۷) نمایش داده شده است. شکل (۱۸) نیز توزیع جمله فوق را در راستای شعاع لوله نشان می‌دهد. نتایج حاصله به کمک مدل‌سازی یک‌بعدی (مدل $k-\epsilon-v^2$ به دست آمده است. لازم به ذکر است که دوره شتابدهی $3/8$ ثانیه می‌باشد. مشاهده می‌شود که در مراحل اولیه شتابدهی، جمله تولید تقریباً ثابت است. علت این امر، پاسخ آهسته‌نش برشی آشفته و میدان سرعت در این مرحله است. تطابق کیفی بین شکل‌های (۱۷) و (۱۸)، دقیق نسبتاً خوب مدل‌سازی یک‌بعدی کار حاضر را نشان می‌دهد. با گذشت زمان از شروع شتابدهی، دامنه گسترش جمله تولید به‌سبب افزایش سرعت اصطکاکی محلی کاهش می‌یابد.



شکل ۱۵ توزیع متوسط مریع مؤلفه سرعت محوری به‌ازای دوره شتابدهی $3/8$ ثانیهای ($Re=7000-36000$)

- افزایش قطر و لزجت باعث کاهش تنش برشی دیواره و افزایش رینولدز ابتدای دوره شتاب دهی با افزایش تنش برشی دیواره همراه است.
- اختلاف بین حل حالت شبه پایا و شتاب دار در اثر کاهش زمان شتاب دهی، افزایش می یابد.
- مقایسه کمیت های سرعت متوسط، انرژی جنبشی آشفته و جمله تولید این معادله با نتایج مشابه حاصل از شیوه سازی گردابه های بزرگ و آزمایش های تجربی، نشان از دقت مطلوب مدل سازی یک بعدی (جز مدل BL) جریان آشفته شتاب دار دارد.
- از مدل های آشفتگی یک بعدی (به استثنای مدل BL) می توان به عنوان یک ابزار مناسب برای پیش بینی جریان آشفته شتاب دار درون لوله در مقایسه با روش های پر هزینه دیگر نظری شیوه سازی گردابه های بزرگ و کارهای آزمایشگاهی، بهره برد.
- مذکور در پیش بینی تنش برشی دیواره، تنش رینولدز، لزجت آشفتگی، تأخیر زمانی در پاسخ و سرعت متوسط مورد نظر بود. هم چنین تغییر عواملی نظیر قطر لوله، نوع سیال، رینولدز اولیه شتاب و نرخ شتاب دهی و تأثیر آن بر پارامترهای فوق به دقت مورد بررسی قرار گرفت. به منظور راستی آزمایی، نتایج حاصل از مدل های آشفتگی با نتایج تجربی و عددی (مدل سازی آشفتگی و شیوه سازی گردابه های بزرگ) دیگر محققان مقایسه گردید. نتایج به دست آمده از مطالعه حاضر به صورت زیر عنوان می گردد:
- تأخیر در پاسخ آشفته پیش بینی شده به وسیله مدل ها (جز مدل BL)، تطابق نسبتاً خوبی با مقادیر آزمایشگاهی نشان می دهد.
 - مقایسه توزیع سرعت متوسط، انرژی جنبشی آشفته و لزجت آشفتگی نشان از دقت بهتر مدل $k-\epsilon-v^2$ نسبت به سایر مدل ها دارد.
 - تنش برشی در طی دوره شتاب دهی خطی، رفتار غیر خطی از خود نشان می دهد.

مراجع

1. He, S. and Jackson, J.D., "A Study of Turbulence under Conditions of Transient Flow in a Pipe", *J. Fluid Mech*, Vol. 408, pp. 1-38, (2000).
2. Mizushima, T., Maruyama, T. and Hirasawa, H., "Structure of the Trbulence in Pulsating Pipe Flows", *J. Chem. Engng Japan*, Vol. 8, pp. 210-216, (1975).
3. Shemer, L., Wygnanski, I. and Kit, E., "Pulsating Flow in a Pipe", *J. Fluid Mech*, Vol. 153, pp. 313-337, (1985).
4. Burnel, S., Raelison, J.C. and Thomas, J.M., "Radial Distribution of the Reynolds Stress in a Turbulent Pulsating Flow in a Pipe", In Engineering Turbulence Modeling and Experiments (ed. W., Rodi and Y., Ganic, pp. 419-427, (1990).
5. Burnel, S., Raelison, J.C. and Thomas, J.M., "Radial Distribution of the Reynolds Stress in a Turbulent Pulsating Flow in a Pipe", *Euromech Colloquium 272 Response of Shear Flows to Imposed Unsteadiness*, Aussois, 15-17 January, France, (1991).
6. Tardu, S.F., Binder G. and Blackwelder, R.F., "Turbulent Channel Flow with Large Amplitude", *J. Fluid Mech*, Vol. 269, pp. 109-151, (1994).
7. Shemer, L. and Wygnanski, I., "On the Pulsating Flow in Pipe", *Third Symp. on Turbulent Shear Flows*, University of California, Davis, Vol. 8, pp. 13-18, (1981)
8. Cook, W.J., Murphy, J.D. and Owen, F.K., "An Experimental and Computational Study of Turbulent

- Boundary Layers in Oscillating Flows", *Fifth Symp. on Turbulent Shear Flows*, Cornell University, Ithaca , New York, August 7-9, (1985)
9. Kirmse, R. E., "Investigations of Pulsating Turbulent Pipe Flow", *Trans. ASME*, Vol. 101, pp. 436-442, (1979).
 10. Blondeaux, P. and Colombini, M. "Pulsating Turbulent Pipe Flow", *Fifth Symp. on Turbulent Shear Flows*, Cornell University, Ithaca, New York, (1985)
 11. Scotti, A. and Piomelli, U., "Turbulence Models in Pulsating Flows", *AIAA J*, Vol. 40, pp. 537-540, (2002).
 12. Scotti, A. and Piomelli, U., "Numerical Simulation of pulsating Turbulent Channel Flows", *Physics of Fluids*, Vol. 13, pp. 1367-1384, (2001).
 13. Kataoka, K., Kawabata, T. and Miki, K., "The Start-up Response of Pipe Flow to a Step Change in Flow Rate", *J. Chem. Engng Japan*, Vol. 8, pp. 266-271, (1975).
 14. Maruyama, T., Kurabayashi, T. and Mizushina, T., "The Structure of the Turbulence in Transient Pipe Flows", *J. Chem. Engng Japan*, Vol. 9, pp. 431-439, (1976)
 15. Kurokawa, J. and Morikawa, M., "Accelerated and Decelerated Flows in a Circular Pipe (1st report, velocity profiles and friction coefficient)", *Bull. JSME*, Vol. 29, pp. 758-765, (1986).
 16. Lefebvre, P. J., "Characterization of Accelerating Pipe Flow", PhD thesis, University of Rhode Island, (1987).
 17. Greenblatt, D. and Moss, E., "Rapid Temporal Acceleration of a Turbulent Pipe Flow", *J. Fluid Mech.*, Vol. 514, pp. 65-75, (2004).
 18. Gundogdu, M. Y., and Carpinlioglu, M. O., "Present State of Art on Pulsatile Flow Theory (Part 1: Laminar and Transitional Flow Regimes)", *Japanese Society of Mechanical Engineering International Jornal*, Series B, Vol. 42, pp. 384-397, (1999).
 19. Gundogdu, M. Y., and Carpinlioglu, M. O., "Present State of Art on Pulsatile Flow Theory (Part 2: Laminar and Transitional Flow Regimes)", *Japanese Society of Mechanical Engineering International Jornal*, Series B, Vol. 42, pp. 398-410, (1999).
 20. Hsu, C.T., Lu, X., and Kwan, M.K., "LES and RANS Studies of Oscillating Flows over Flat Plate", *American Society of Chemical Engineering Journal of Engineering Mechanics*, Vol. 126, pp. 186-193, (2000).
 21. Chung, Y.M. and Malek-Jafarian, M., "Direct Numerical Simulation of Unsteady Decelerating Flows", *Fourth International Symposium on Turbulence and Shear Flow Phenomena (TSFP-4)*, Williamsburg, USA, 27-29 June (2005).
 22. Yorke, C.P. and Coleman, G.N., "Assessment of Common Turbulence Models for an Idealized Adverse Pressure Gradient Flow", *European Journal of Fluid Mechanics B/Fluids*, Vol. 23, pp. 319-337, (2004).
 23. He, S., Ariaratne, C. and Vardy, A.E., "A computational study of wall friction and turbulence dynamics in accelerating pipe flows", *Computers and Fluids*, Vol. 37, pp.674-689, (2008).
 24. Khaleghi, A., Pasandideh-Frad, M., Jafarian, M.M., and Chung, Y.M., "Assessment of common turbulence models under conditions of temporal acceleration in a pipe", *Journal of Applied Fluid Mechanics*, Vol. 4, pp. 25–33, (2009).
 25. Jung, S.Y. and Chung, Y.M., "Large-eddy simulation of accelerated turbulent flow in a circular pipe", *International Journal of Heat And Fluid Flow*, Vol. 33, pp. 1–8, (2012).
 26. Moser, R.D., Kim, J. and Mansour, N.M., "Direct Numerical Simulation of Turbulent Channel Flows up to $Re_\tau = 590$ ", *Physics of Fluids*, Vol. 11, pp. 943-945, (1999).
 27. Baldwin, B.S., Lomax, H., "Thin-Layer Approximation and Algebraic Model for Separated Turbulent Flows", *AIAA Paper*, pp. 78-257, (1978).

28. Spalart P.R. and Allmaras S.R., "A One-Equation Turbulence Model for Aerodynamic Flows", *La Recherche Aerospaciale*, Vol. 1, pp. 5-21, (1994)
29. Lam, C.K.G. and Bremhorst K.A., "Modified Form of the $k - \varepsilon$ Model for Predicting Wall Turbulence", *Journal of Fluids Engineering*, Vol. 103, pp. 456-460, (1981).
30. Wilcox, D.C., "Reassessment of the Scale-Determining Equation for Advanced Turbulence Models", *AIAA Journal*, Vol. 26, pp. 1299-1310, (1988).
31. Durbin, P.A., "Separated Flow Computations with the $k - \varepsilon - v^2$ Model", *AIAA J*, Vol. 33, pp. 659-664, (1995).
32. Cebeci, T. and Smith, A.M.O., "Analysis of Turbulent Boundary Layers", Academic Press, Cambridge, Massachusetts, (1974).
33. Wilcox, D.C., "Turbulence Modeling for CFD", Second edition, DCW Industries, New York, (1998).
34. Menter, F.R., "Two-Equation Eddy-Viscosity Turbulence Models for Engineering Applications", *AIAA J*, Vol. 32, pp. 1598-1605, (1994).